

## გრავიტაცია და კოსმოლოგია II

კერ - დე სიტერის ტიპის შავი ხვრელების სიმულაცია:  
კოსმოლოგიური მუდმივას შემოწმების ახალი მეთოდი

თბილისის სახელმწიფო უნივერსიტეტი, ზუსტ და საბუნებისმეტყველო  
მეცნიერებათა ფაკულტეტი, ფუნდამენტური ფიზიკის მიმართულება

მომხსენებელი: ლუკა ბურდილაძე

# Image of Kerr-de Sitter black holes: An additional avenue for testing the cosmological constant

Ke Wang,<sup>1</sup> Chao-Jun Feng,<sup>1,\*</sup> and Towe Wang<sup>2,†</sup>

<sup>1</sup>*Division of Mathematical and Theoretical Physics,*

*Shanghai Normal University, 100 Guilin Road, Shanghai 200234, P.R.China*

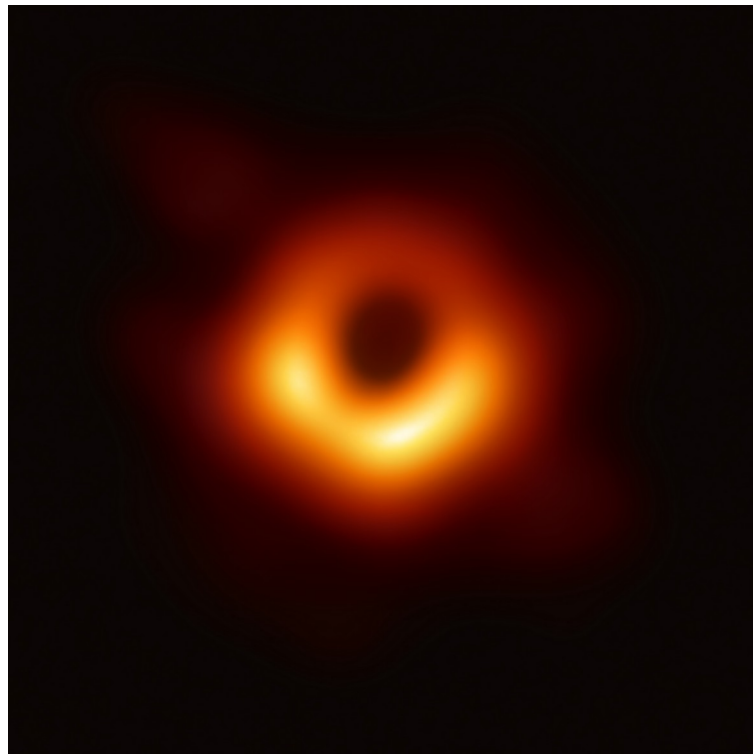
<sup>2</sup>*Department of Physics, East China Normal University, Shanghai 200241, China*

[1] Wang, Ke, Chao-Jun Feng, and Towe Wang. "Image of Kerr-de Sitter black holes: An additional avenue for testing the cosmological constant." arXiv preprint arXiv:2309.16944 (2023).

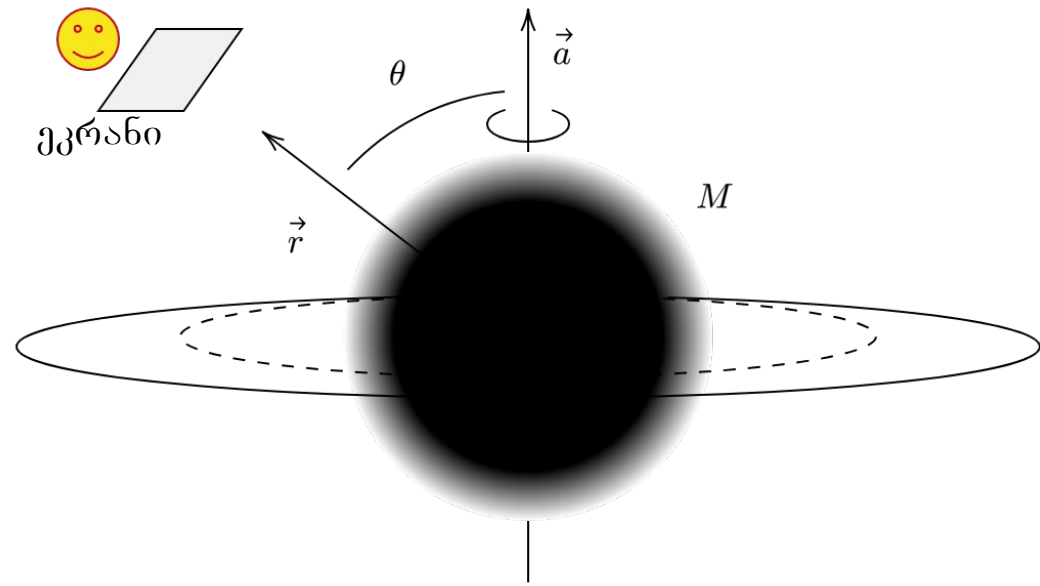
# მოხსენების შინაარსი

- სტატიის მიმოხილვა
- კერ – დე სიტერის მეტრიკა
- თხელი აკრეციული დისკის მოდელი
- სიმულაციის შედეგები
- დასკვნები
- გამოყენებული ლიტერატურა

# სტატიის მიმოხილვა



M87\* შავი ხვრელი



- ΛCMD მოდელი
- Kerr-de Sitter გიზის შავი ხვრელი
- M მასის, a სპინით
- გარშემო აკრეციული დისკი

# პერ – დე სიტერის მეტრიკა

- Boyer-Lindquist კოორდინატები მარტივ შემთხვევაში ( $M \rightarrow 0$ ) დეკარტეს კოორდინატთა სისტემას უკავშირდება შემდეგნაირად [2]:

$$\begin{cases} x = \sqrt{r^2 + a^2} \cos \theta \sin \phi \\ y = \sqrt{r^2 + a^2} \sin \theta \sin \phi \\ z = r \cos \theta \end{cases}$$

[2] Matt Visser,  
arXiv:0706.0622v  
3, eqs. 60-62

- Boyer-Lindquist კოორდინატებში მეტრიკა ( $\Lambda > 0$  კოსმოლოგიური მუდმივა):

$$ds^2 = \frac{a^2 \sin^2 \theta \Delta_\theta - \Delta_r}{\Xi^2 \Sigma} dt^2 - 2 \frac{a \sin^2 \theta (\Delta_\theta (a^2 + r^2) - \Delta_r)}{\Xi^2 \Sigma} dt d\phi \\ + \frac{\Sigma}{\Delta_r} dr^2 + \frac{\Sigma}{\Delta_\theta} d\theta^2 + \frac{\sin^2 \theta (\Delta_\theta (a^2 + r^2)^2 - a^2 \Delta_r \sin^2 \theta)}{\Xi^2 \Sigma} d\phi^2$$

$$\Sigma = r^2 + a^2 \cos^2 \theta, \\ \Delta_r = (r^2 + a^2) \left(1 - \frac{\Lambda}{3} r^2\right) - 2Mr, \\ \Delta_\theta = 1 + \frac{\Lambda}{3} a^2 \cos^2 \theta, \\ \Xi = 1 + \frac{\Lambda}{3} a^2.$$

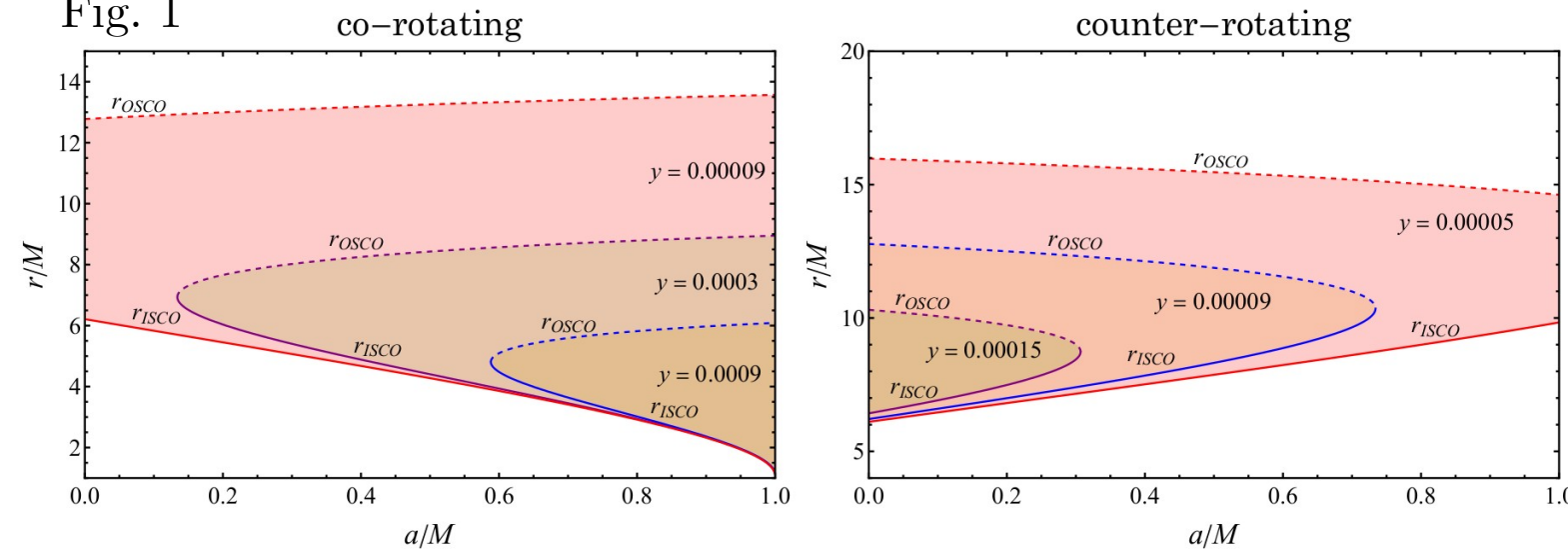
$$y = \frac{1}{3} \Lambda M^2 - \text{უგანზომილებო კოსმოლოგიური მუდმივა}$$

# თხელი დისკის მოდელი

- M87\* შავი ხვრელის აღსაწერად შემუშავებული იქნა ფენომენოლოგიური მოდელი [3], რომლის მიხედვითაც ითვლება, რომ ეკვატორის სიბრტყეში აკრეციული დისკი არის სტაციონარული, ცილინდრულად სიმეტრიული და გეომეტრიულად ბრტყელი. დისკში თითოეული ნაწილაკი მოძრაობს დროისმაგვარ გეოდეზიურ წირზე.

[3] S. E. Gralla, A. Lupsasca, and D. P. Marrone, The shape of the black hole photon ring: A precise test of strong-field general relativity.

Fig. 1

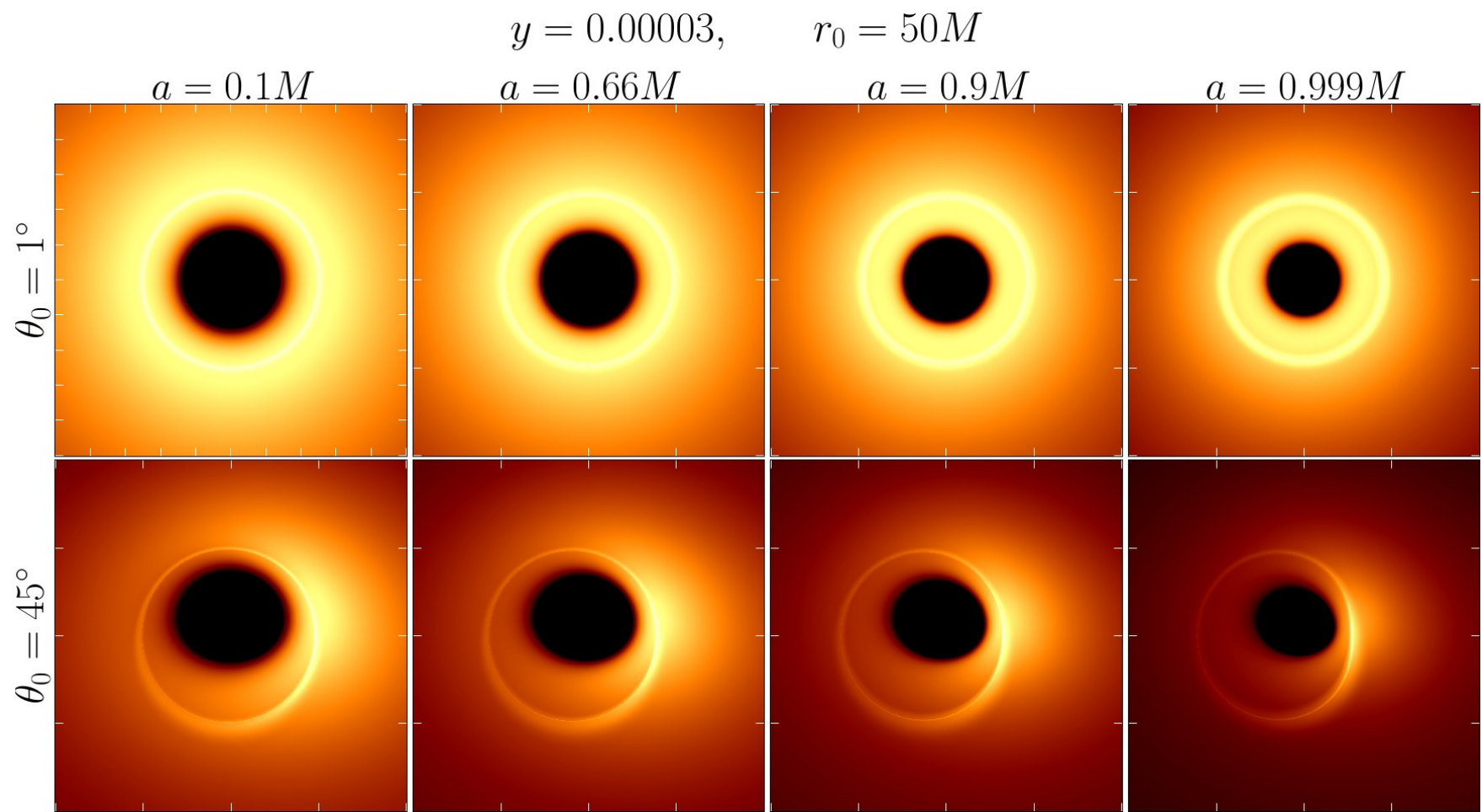


$r_{ISCO}$  – შიდა  
სტაბილური  
წრიული ორბიტის  
რადიუსი

$r_{OSCO}$  – გარე  
სტაბილური  
წრიული ორბიტის  
რადიუსი

# სიმულაციები შედეგები: (prograde thin equatorial accretion disk)

Fig. 2



# სიმულაციების შედეგები: (prograde thin equatorial accretion disk)

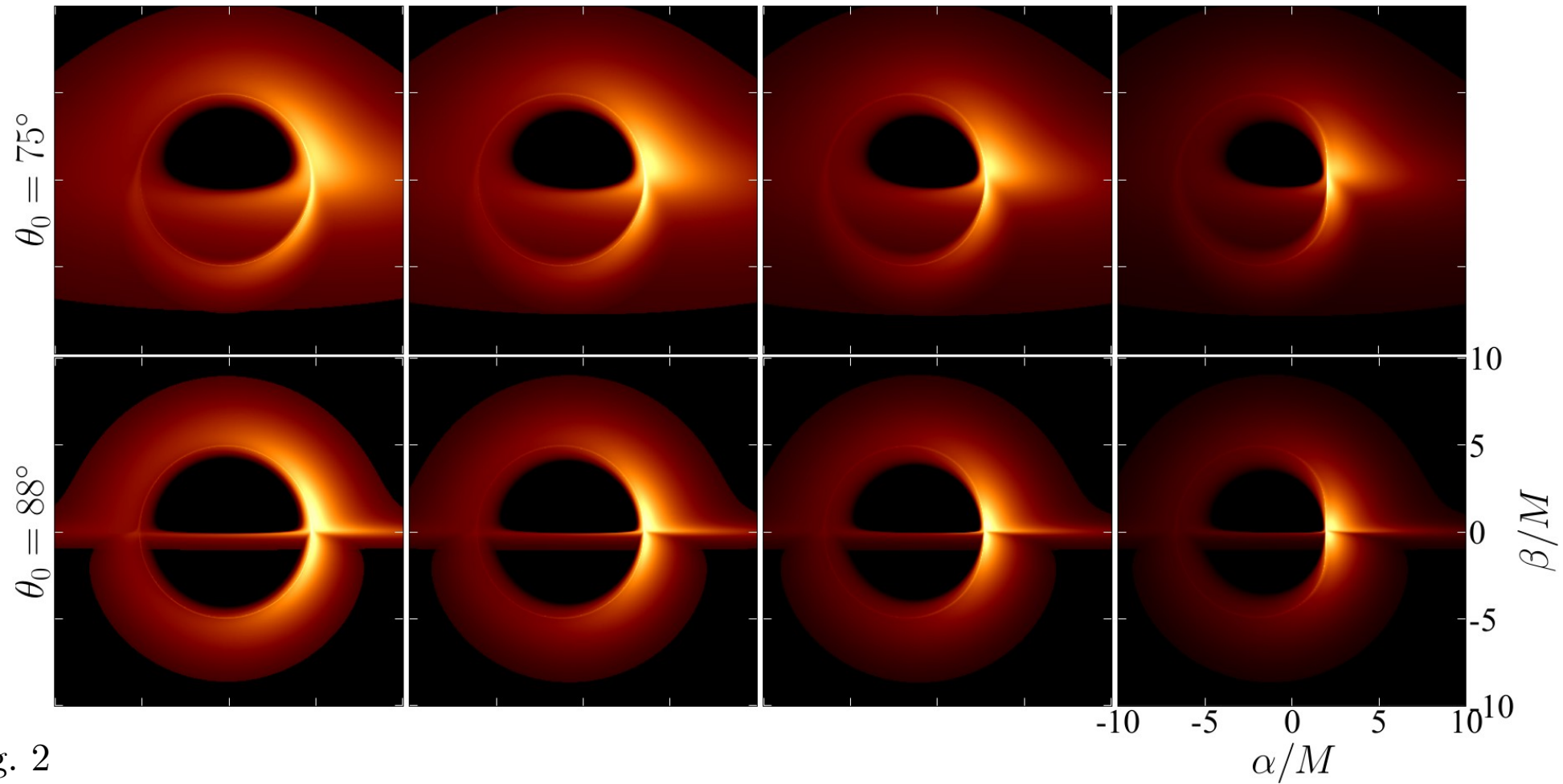
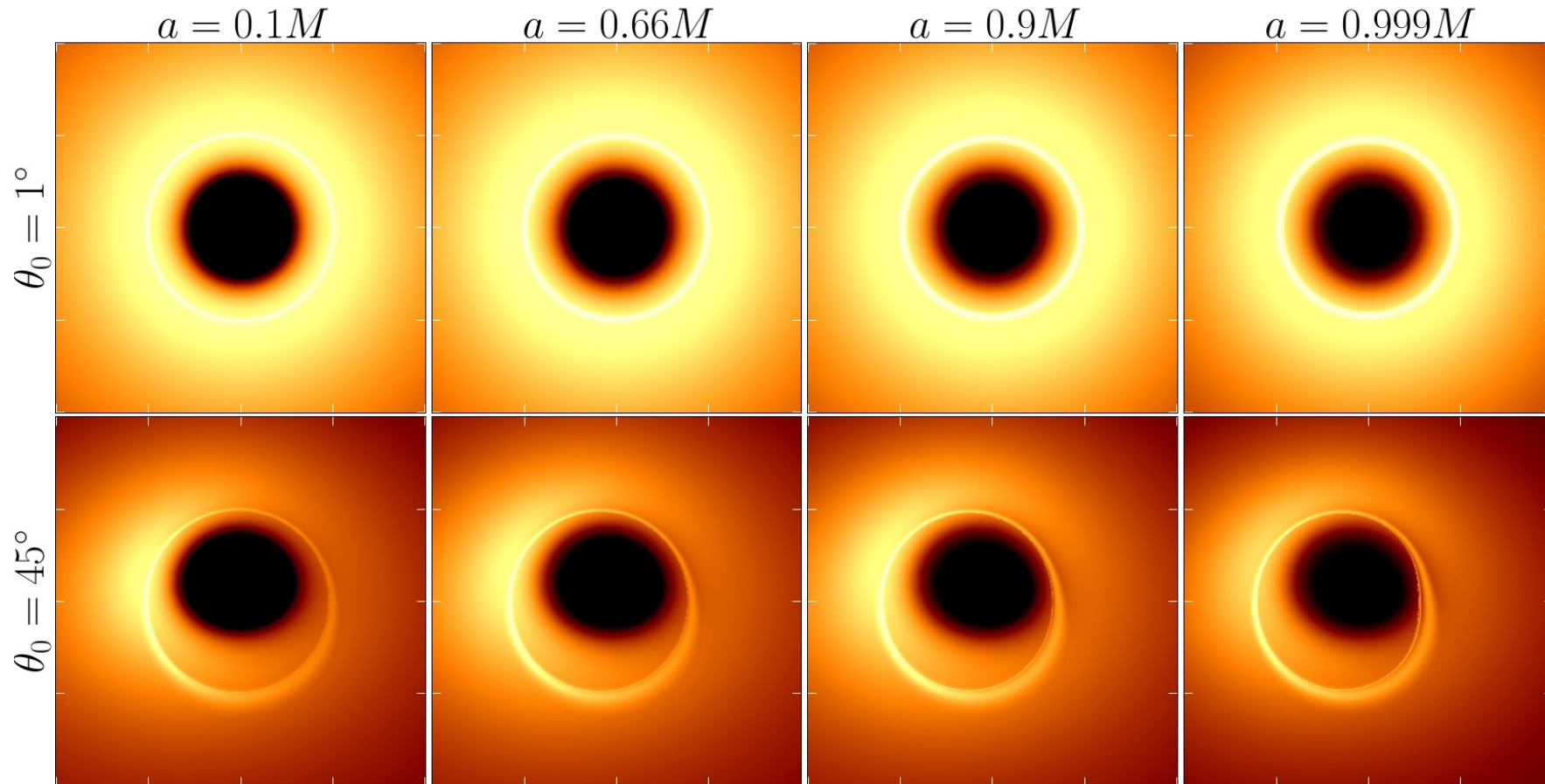


Fig. 2

# სიმულაციების შედეგები: (retrograde thin equatorial accretion disk)

Fig. 3

$$y = 0.00003, \quad r_0 = 50M$$



# სიმულაციების შედეგები: (retrograde thin equatorial accretion disk)

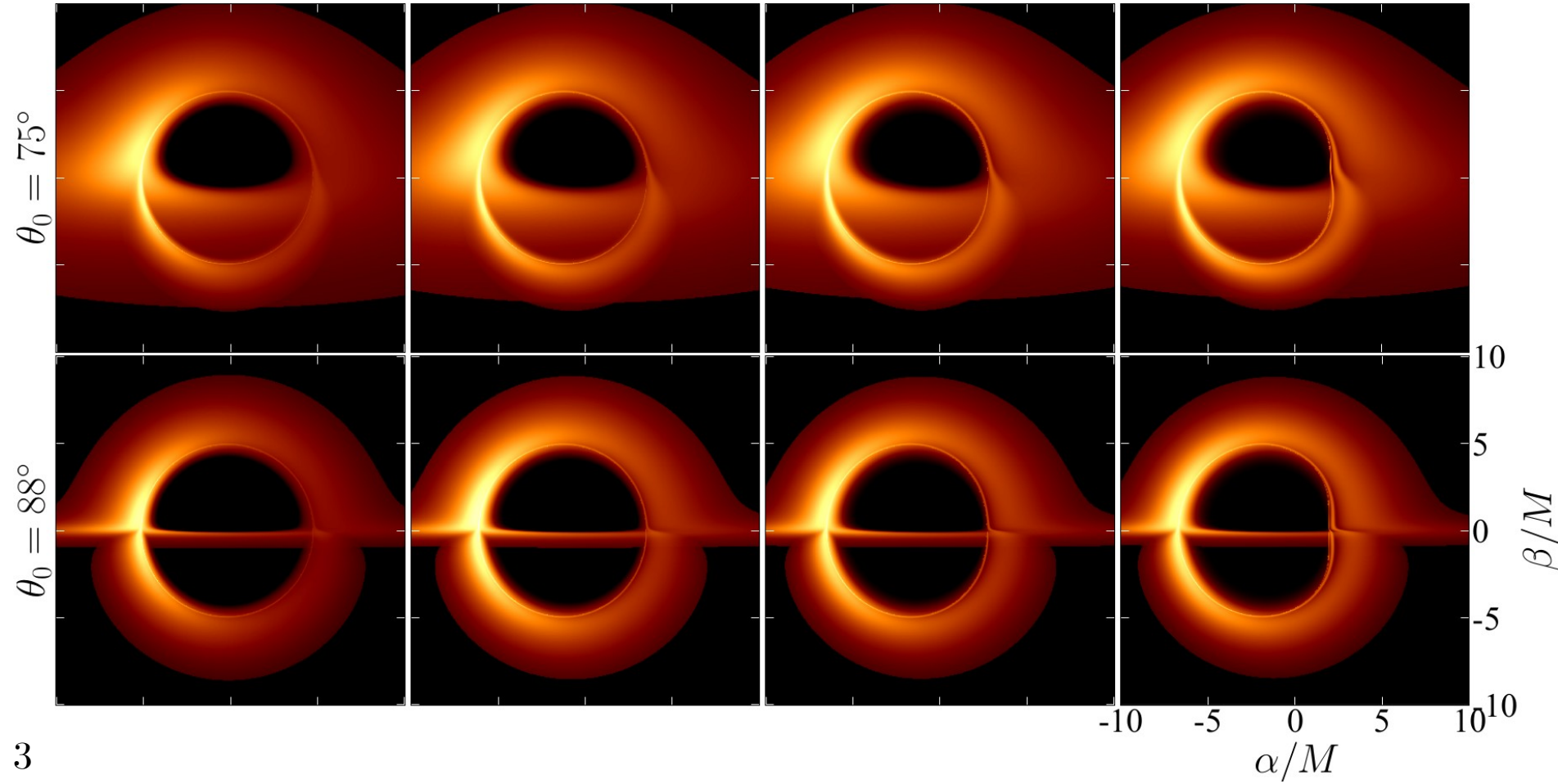


Fig. 3

# სიმულაციები შედეგები

$$a = 0.9M, \quad r_0 = 50M, \quad \theta_0 = 88^\circ$$

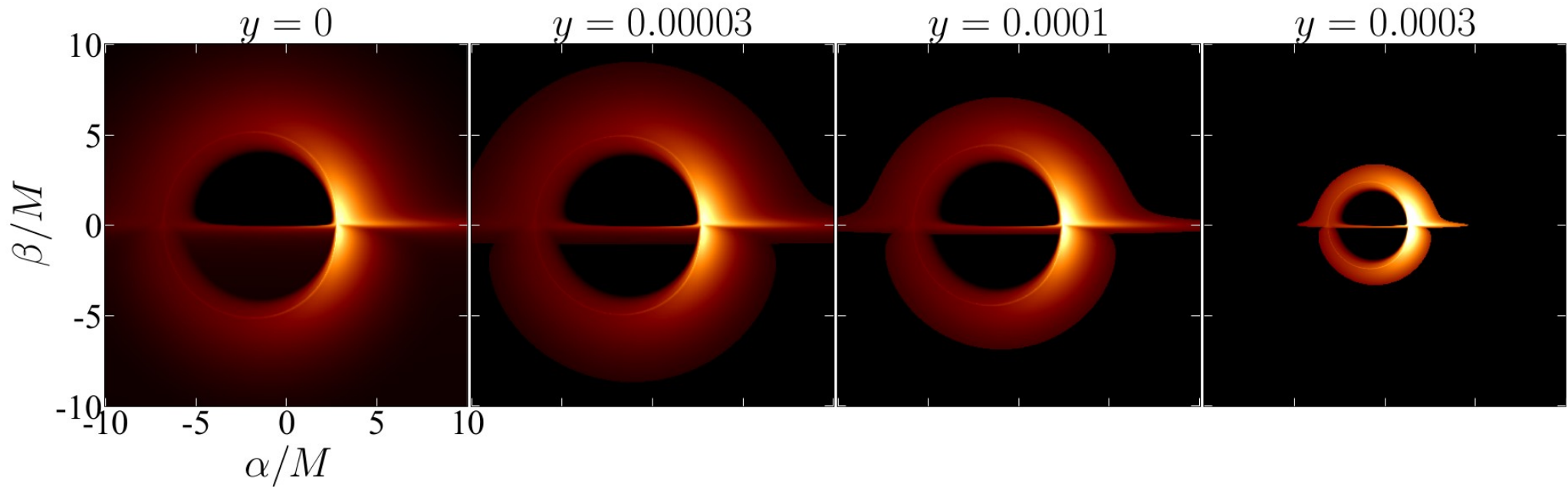


FIG. 5. Images of Kerr-de sitter black hole with different cosmological constants. From left to right, the dimensionless cosmological constants is set as  $y = (0, 0.00003, 0.0001, 0.0003)$ . Each black hole in the figure has the same spin  $a = 0.9$  and the observer's positions are fixed at  $(r_0 = 50M, \theta_0 = 88^\circ)$ .

# სიმულაციები შედეგები

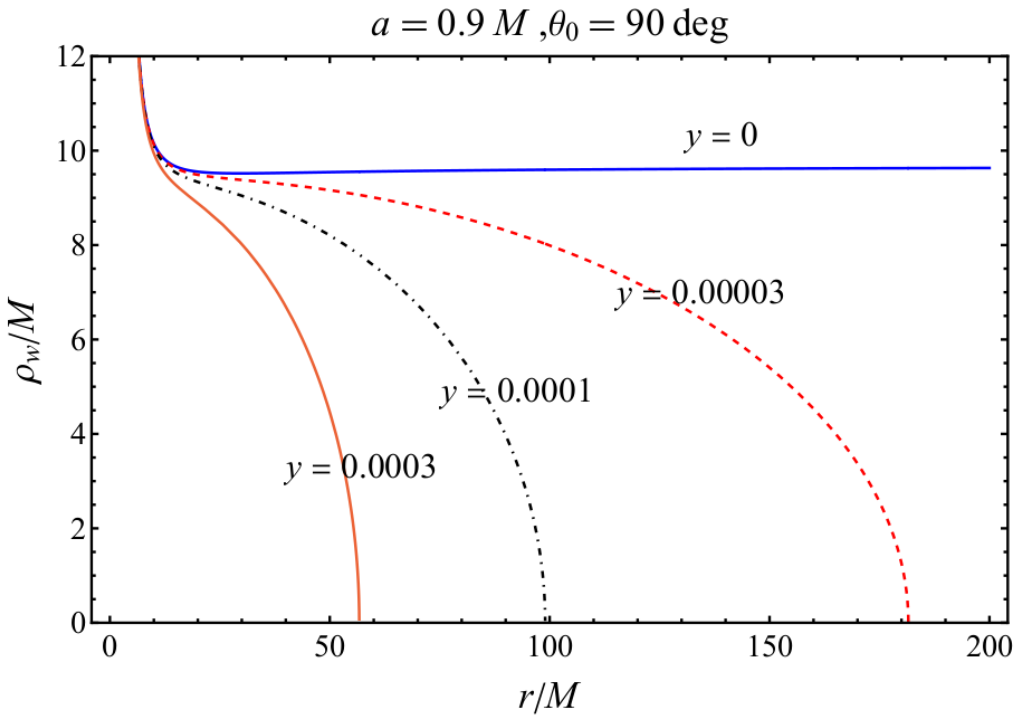
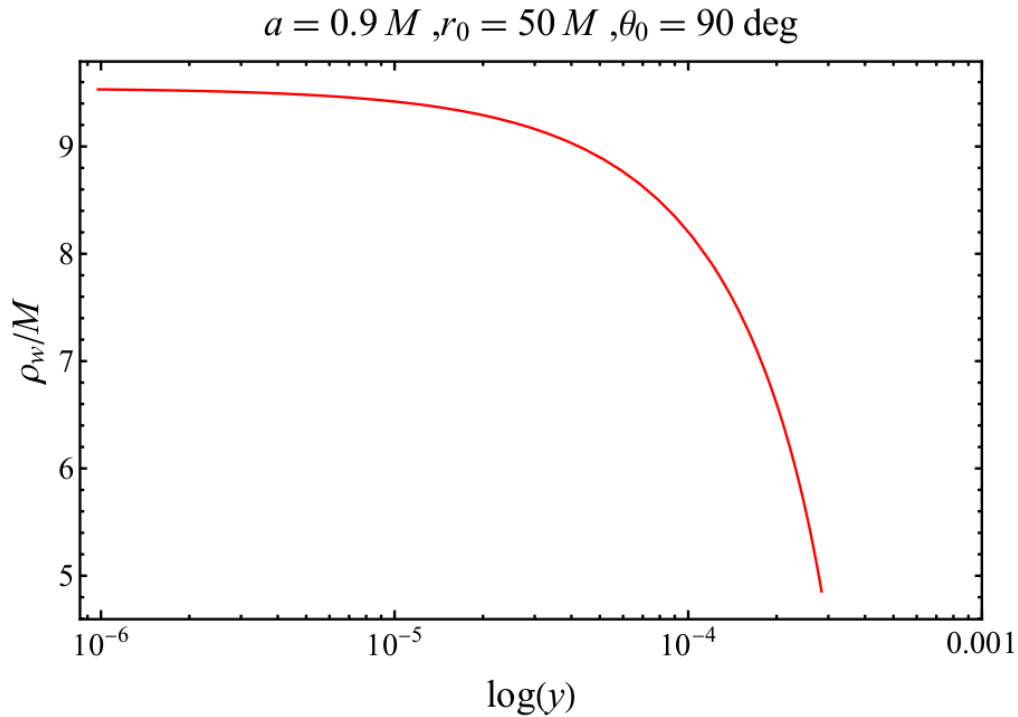


FIG. 7. The apparent size of the shadow varies with respect to  $y$  (the dimensionless cosmological constant) or  $r$  (the observation distance).

# სიმულაციები შედეგები

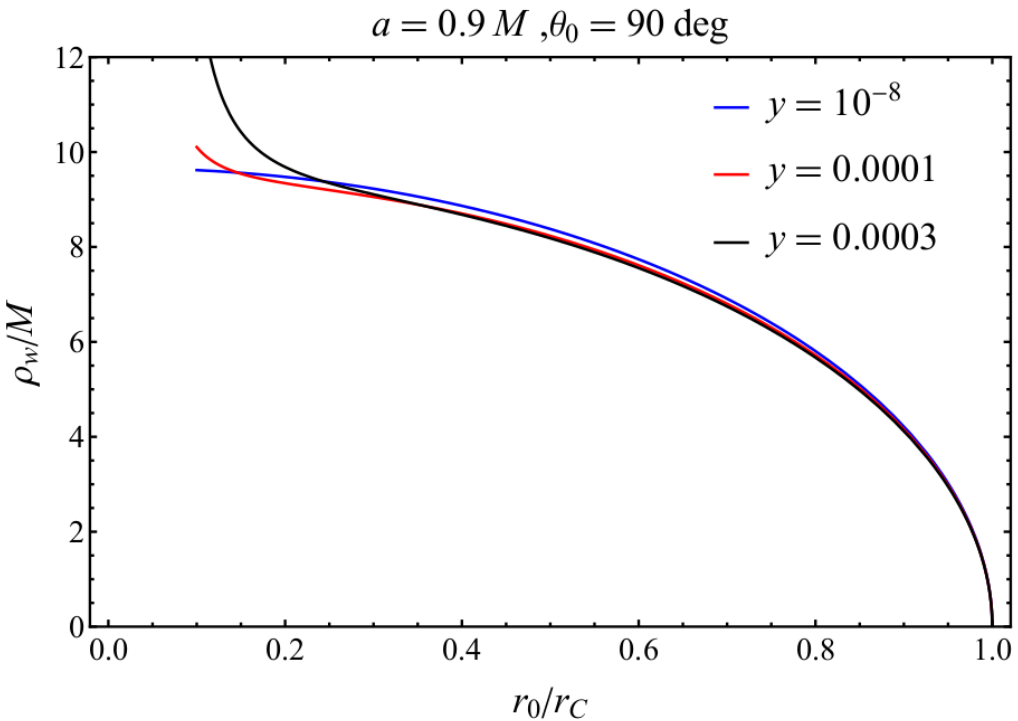
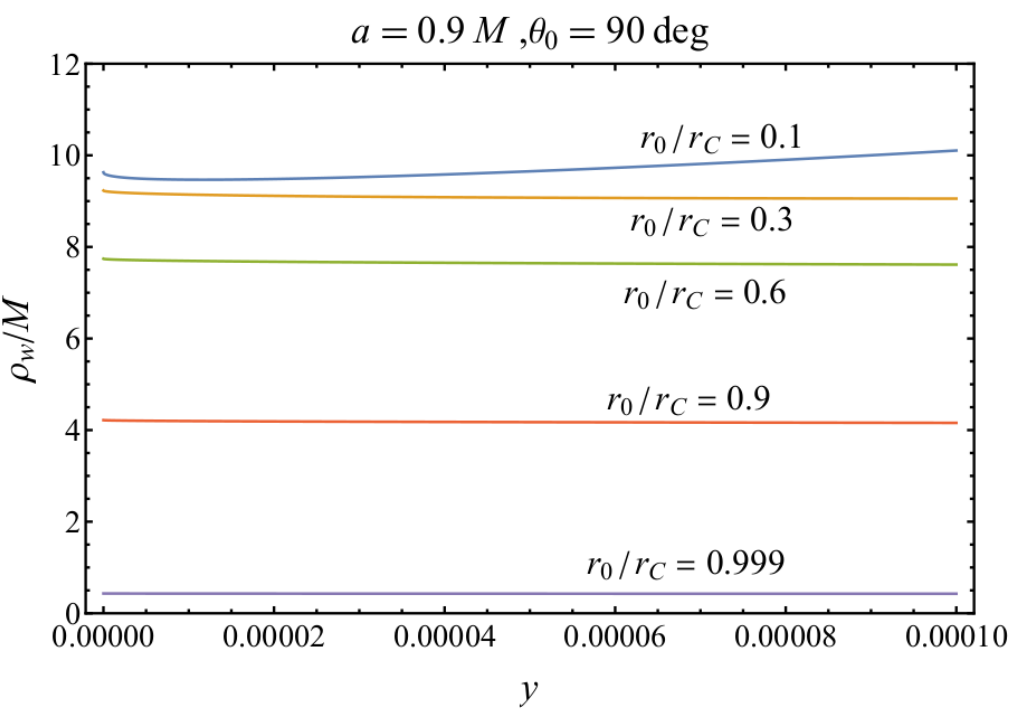


FIG. 8. The apparent size of the shadow varies with respect to  $y$  (the dimensionless cosmological constant) or  $r/r_C$  (the relative observation distance)

# დასკვნები

- კერის შავ ხვრელთან შედარებით, კოსმოლოგიური კონსტანტის შემოღება საბოლოო ჯამში ამცირებს შავი ხვრელის სურათს.
- დანახული შავი ხვრელის ზომა მცირდება კოსმოლოგიური მუდმივას ზრდასთან ერთად.
- დანახული შავი ხვრელის ზომას განსაზღვრავს დამკვირვებლის ფარდობითი მდებარეობა კოსმოლოგიურ პორიზონტთან შედარებით ( $r_0/r_C$ ).
- კოსმოლოგიური კონსტანტის შემოღების კიდევ ერთი ეფექტია დანახული შავი ხვრელის სიკაშკაშის გაზრდა ზომის შემცირებასთან ერთად.
- შავი ხვრელის გარშემო არსებული ფოტონები შესაძლებელს ხდის შევისწავლოთ როგორ გავლენას ახდენს კოსმოლოგიური კონსტანტა შავი ხვრელის დაკვირვებებზე.

# ମାଧ୍ୟମିକ ପ୍ରକାଶନ ଓ ପ୍ରକାଶକ